



## تأثیر فاکتور سلول بنیادی و رتینوئیدها در تمایز سلول‌های اسپر ماتوگونی بافت بیضه رت بالغ مدل آزواسپرمی انسدادی

مهناز نسیمی<sup>۱</sup>، اسماعیل فتاحی<sup>\*</sup>، سید غلامعلی جورسایی<sup>۲</sup>، مریم غلامی تبار طبری<sup>۳</sup>، ابراهیم ذبیحی نیشابوری<sup>۴</sup>

۱- گروه زیست‌شناسی، واحد آیت‌آملی، دانشگاه آزاد اسلامی، آمل، ایران

۲- گروه علوم تشریح، مرکز تحقیقات بهداشت باروری و ناباروری، پژوهشکده سلامت، دانشگاه علوم پزشکی بابل، ایران

۳- گروه مامایی، مرکز تحقیقات باروری بهداشت، واحد ساری، دانشگاه آزاد اسلامی، ساری، ایران

۴- گروه فارماکولوژی، مرکز تحقیقات بیولوژی سلولی و مولکولی، پژوهشکده سلامت، دانشگاه علوم پزشکی بابل، ایران

\*مسئول مکاتبات: esmail\_fattahy@yahoo.com

تاریخ پذیرش: ۱۳۹۸/۱۱/۲۳

تاریخ دریافت: ۱۳۹۸/۰۵/۲۵

### چکیده

رتینوئیدها و فاکتور سلول بنیادی نقش مهمی در تکثیر، بقا و تمایز سلول‌های بنیادی به اسپرم ایفا می‌کنند. لذا در این مطالعه اثر فاکتور سلول بنیادی و رتینوئیدها بر تکثیر و تمایز سلول‌های اسپر ماتوگونی در لوله‌های اسپرم‌ساز بیضه رت بالغ مدل آزواسپرمی انسدادی با استفاده از سیستم کشت بافت مورد ارزیابی قرار گرفته است. قطعات بافت بیضه در محیط کشت مکمل با رتینوئیدها یا فاکتور سلول بنیادی و یا ترکیبی از هر دو در شرایط دمای  $34/5$  درجه سانتی‌گراد و دی‌اکسید کربن  $5$  درصد به مدت  $20$ ،  $25$  و  $35$  روز کشت داده شدند. سپس مقاطع بافتی تهیه شده در زمان‌های مذکور به وسیله رنگ‌آمیزی پاس و هماتوکسیلین مورد ارزیابی مورفولوژیکی قرار گرفتند. شمارش سلولی در واحد سطح با استفاده از نرم‌افزار ImageJ و تجزیه و تحلیل آماری، با استفاده از آنالیز واریانس یک طرفه، ANOVA و آزمون تعقیبی توکی انجام شد. تعداد سلول‌های اسپر ماتوگونی، اسپر ماتوگونی و لایدیگ در روز  $25$ ،  $30$  و  $35$  کشت و همچنین تعداد سلول اسپرم‌تایید گرد و دراز در روز  $35$  کشت در بافت بیضه آزواسپرمی انسدادی در مقایسه با گروه‌های تجربی و کنترل افزایش معنی دار داشتند ( $P < 0.001$ ). بررسی هیستولوژیک بافت بیضه در شرایط مختلف کشت، تغییرات پاتولوژیک را در سلول‌های سازنده اپی‌تیلیوم نشان داد. رتینوئیدها در روز  $35$  کشت در مقایسه با فاکتورهای دیگر در حفظ و تکثیر رده‌های سلولی فرایند اسپر ماتوگونی نقش مؤثرتری داشتند. از آنجاییکه این فاکتورها به تنها بیان عامل القا تکثیر و تمایز نیستند، بنابراین بهینه سازی محیط کشت جهت دستیابی به اسپرم بالغ بیشنهاد می‌شود.

کلمات کلیدی: رتینوئیدها، فاکتور سلول بنیادی، کشت بافت، آزواسپرمی انسدادی، رت.

### مقدمه

و حدود  $50$  درصد از آن‌ها به علت فاکتورهای مردانه است (۲۵). یکی از علت‌های ناباروری در مردان آزواسپرمی (فاقد اسپرم‌اتوزوئید در مایع منی) است که حدود  $6/1$  تا  $13/6$  درصد موارد ناباروری در مردان و حدود  $1$  درصد از جمعیت مردان را تشکیل می‌دهد

ناباروری یک معضل بهداشتی و اجتماعی است که می‌تواند مسائل عدیدهای را برای جوامع بشری ایجاد کند. در سالیان اخیر میزان شیوع ناباروری رو به افزایش بوده و بر طبق آمار سازمان بهداشت جهانی (WHO)،  $10$  تا  $15$  درصد از زوجین نابارور می‌باشند



در پستانداران، شروع میوز عمدتاً توسط تولید، ذخیره سازی، و متابولیسم رتینول و متابولیت آن رتینوئیک اسید تنظیم می‌شود (۴۰). ویتامین A به صورت رتینول یا رتینوئیک اسید برای باروری و اسپرماتوژنر طبیعی مورد نیاز است. رتینوئیک اسید رشد و نمو سلول زایا را تنظیم می‌کند (۱۵). همچنین اثرات مطلوبی از مصرف همزمان رتینول و رتینوئیک اسید در تمایز سلول‌های زایا و حفظ تکثیر سلولی داخل لوله‌ای سلولهای بنیادی اسپرماتوژنیک در سیستم کشت اندام گزارش شده است (۳۸).

مطالعات اسپرماتوژنر آزمایشگاهی (IVS) به فاکتورهای زیادی از جمله: pH، دما، تماس سلول-سلول، سطح اکسیژن، روش کشت، ترکیب محیط کشت و حضور و یا عدم وجود سرم، هورمون‌ها و برخی از فاکتورهای رشد بستگی دارد (۳۶، ۱۶). IVS به سه روش کشت سلولی دو بعدی، کشت سه بعدی و کشت اندام قابل انجام است. تکنیک کشت اندام به علت حفظ آرایش فضایی سلول‌های بیضه‌ای در *in vitro* و حفظ تعامل مورفولوژیکی بین سلول‌های داخل لوله و قسمت بینایینی همانند *in vivo* و عدم نیاز به هضم آنزیمی از میان روش‌های دیگر شرایط مطلوبتری را برای اسپرماتوژنر در شرایط آزمایشگاه فراهم می‌آورد (۲۷).

در این زمینه تلاش‌های زیادی در دهه ۱۹۶۰، توسط استینبرگرها انجام شد، آن‌ها به منظور بقای طولانی مدت بیضه در سیستم کشت اندام چندین اقدام مهم انجام دادند اما پیشرفت اسپرماتوژنر فقط تا مرحله پاکی تن میوز گزارش داده شد و پس از آن توقف میوزی صورت می‌گرفت (۳۵، ۳۷). در سال ۲۰۱۰ برای اولین بار امکان تمایز اسپرماتوگونی در بیضه موش تاریخته نوزاد به اسپرم عملکردی در شرایط *vitro* روی ستون‌های آگارز و شرایط دمایی ۳۴ درجه و ۱۰ درصد اکسیژن نشان داده شد (۱۱).

(۳). محققین در تقسیم‌بندی آزواسپرمی و عوامل ایجاد کننده آن اختلاف نظر دارند ولی آزواسپرمی دو علت کلی دارد. در یک گروه از افراد اسپرماتوژنر تولید می‌شود ولی راههای تخلیه اسپرماتوژنر به صورت مادرزادی یا اکتسابی مسدود است که آزواسپرمی انسدادی گفته می‌شود و دسته دیگر افرادی هستند که بیضه قادر به تولید اسپرم نیست و این افراد دچار آزواسپرمی غیرانسدادی می‌شوند (۳۳). امروزه بر اساس عامل وقوع آزواسپرمی روش‌های متفاوتی برای درمان این بیماری استفاده می‌شود که از جمله آن‌ها می‌توان به استفاده از سلول‌های بنیادی اشاره نمود. اگرچه روش‌های کمک باروری جراحی ICSI و PESA م-TESE انسدادی کمک می‌کند (۹، ۱۸)، اما دستیابی به سلول زایای هاپلوئید بالغ از طریق القای تمایز سلول‌های زایای دیپلوئید در افراد آزواسپرمی می‌تواند کمک کننده و امیدبخش باشد (۱۷).

در روند اسپرماتوژنر سلول‌های سرتولی در واکنش مستقیم با سلول‌های اسپرماتوگونی از طریق تولید فاکتورهای ضروری نظری فاکتور سلول بنیادی و رتینوئیک اسید باعث پیشبرد تمایز سلول‌های اسپرماتوگونی می‌شوند. بنابراین، سلول‌های سرتولی برای بقای سلول‌های بنیادی ضروری هستند و شرایط محیطی مطلوب مورد نیاز برای حفظ سلول جهت انجام اسپرماتوژنر در *in vitro* و یا *in vivo* را فراهم می‌کنند (۱۳). فاکتور سلول بنیادی به عنوان لیگاند گیرنده *c-Kit* و یک فاکتور رشد پیتیدی/ سیتوکین با دامنه فعالیت گسترده در مهاجرت، چسبندگی، تکثیر، تمایز و بقای سلول‌های مختلف به ویژه در سلول‌های زایای اولیه و اسپرماتوگونیا در طی تکوین بیضه می‌باشد (۵). مطالعات نشان می‌دهد که جهش در بیان فاکتور سلول بنیادی و گیرنده *c-Kit* موجب اختلال در اسپرماتوژنر و نازایی خواهد شد (۱۲).



ناحیه شکم، با ایجاد برش عرضی ۱ سانتی‌متری در ناحیه شکم و در خط وسط به خروج بیضه‌ها اقدام - شد. پس از نمایان شدن مجرای دفران با کمک پنس استریل آن را به شکل U کشیده و دو سر مجرای دفران را با نخ بخیه قابل جذب مسدود کرده سپس به قطع قسمت وسط مجرای دفران به اندازه ۱ سانتی‌متر با حفظ عروق مربوط به بیضه اقدام شد. سپس با بازگرداندن بیضه به داخل حفره شکم، لایه زیر پوست و پوست به صورت جداگانه بخیه شد (۲۰).

موش‌ها بعد از پایان جراحی، در وضعیت ریکاوری قرار گرفته و سپس داخل قفس‌های انفرادی و تحت شرایط بهینه نگهداری شدند. نمونه‌گیری از بافت بیضه موش‌ها یک ماه بعد از انجام وازنکتومی در سن بلوغ موش‌ها انجام شد.

**محیط کشت بافت:** شامل: -۱ MEMα (گیبکو، آمریکا) مکمل با KSR (v/v) ۱۰٪ (گیبکو، آمریکا) + ۱٪ پنی‌سیلین/استرپتومایسین (v/v) (گیبکو، آمریکا)، -۲ MEMα مکمل با ۱۰٪ KSR (v/v) ۱٪ پنی‌سیلین/استرپتومایسین (v/v) + ۱۲۰ نانوگرم بر میلی‌لیتر فاکتور سلول بنیادی (فاکتور سلول بنیادی- نوترکیب موش صحرایی، پیروتک)، -۳ MEMα مکمل با ۱٪ KSR (v/v) + ۱٪ پنی‌سیلین/استرپتومایسین (v/v) + ۱۰ میکرومولار رتینوئیک اسید (سیگما آلدريچ) + ۱۰ میکرومولار رتینول (سیگما آلدريچ) و -۴ MEMα مکمل با ۱۰٪ KSR (v/v) + ۱٪ پنی‌سیلین/استرپتومایسین (v/v) + ۱۲۰ نانوگرم بر میلی‌لیتر SCF + ۱۰ میکرومولار رتینوئیک اسید + ۱۰ میکرومولار رتینول.

**گروه‌های مورد مطالعه:** در این مطالعه تجربی، چهار گروه زیر بررسی شد:

- ۱- گروه کنترل: بافت بیضه بالغ مدل آزواسپرمی انسدادی کشت داده شده در محیط کشت پایه شامل (۰.۱ Pen/strep +/۱۰ KSR + MEMα)

به دنبال گزارشات موفقیت‌آمیز IVS با روش کشت اندام در مدل‌های موش و موش صحرایی نوزاد (۲۸) و معرفی محیط کشت مؤثر MEMα و دمای ۳۴/۵ درجه سانتی‌گراد در کشت بافت بیضه (۱۱، ۲۸، ۳۱) و حذف FBS از محیط کشت به دلیل کاهش تکثیر سلول بنیادی اسپرم‌ساز و جانشینی آن با KSR (۱۹، ۳۱) و به کارگیری برخی فاکتورهای رشد، از جمله فاکتور سلول بنیادی (SCF) با غلظت ۱۰۰ نانوگرم/میلی‌لیتر جهت تکثیر و بقای سلول‌های بنیادی اسپرم‌اتوگونی در *in vitro* (۴۱، ۱۷، ۲۳) و بهبود روند اسپرم‌اتوژنر (۱۳)، در تحقیق حاضر تلاش شد تأثیر محیط کشت (MEMα +/۱۰ KSR) و محیط کشت مکمل با فاکتور سلول بنیادی، رتینوئیدها و یا ترکیبی از فاکتور سلول بنیادی و رتینوئیدها بر تکثیر و تمایز سلول‌های زیایی موش صحرایی بالغ مدل آزواسپرمی انسدادی مورد ارزیابی قرار گیرد.

## مواد و روش‌ها

**حیوانات:** در این مطالعه تجربی، ۲۰ سر موش سفید صحرایی نر نژاد ویستار با میانگین سنی ۲۷-۳۰ روز و وزن ۵۵±۵ گرم از مرکز آزمایشگاهی دامی، دانشگاه علوم پزشکی بابل تهیه گردید. موش‌ها تحت شرایط بهینه در دمای ۲۲±۲ درجه سانتی‌گراد و چرخه روشنایی-تاریکی (۱۲ ساعت نور و ۱۲ ساعت تاریکی) با دسترسی آزادانه به آب و غذا نگهداری شدند.

**ایجاد مدل آزواسپرمی انسدادی در موش صحرایی آزمایشگاهی نابالغ:** موش‌های گروه تجربی یک ماه بعد از تولد جهت انجام وازنکتومی با استفاده از تزریق داخل صفاقی کتابمین (۴۵ میلی‌گرم/کیلوگرم، وردن، هلند) و زایلزین (۵ میلی‌گرم/کیلوگرم، وردن، هلند) بیهوش شدند. پس از مو زدایی و شستشوی پوست



شکل ستون و به قطر حدود ۷ میلی‌متر و ارتفاع ۵ میلی‌متر برش داده شدند (۲۸). داخل هر ول از پلیت شش خانه‌ای سه تا چهار عدد ستون و روی هر ستون ۱ قطعه بافت بیضه بارگذاری شد. قبل از شروع کشت بافت بیضه، ژل‌ها جهت انکوباسیون به مدت ۲۴ ساعت در محیط کشت مناسب آزمایش غوطه‌ور شدند (۴۲). پس از تعویض محیط کشت، نمونه‌ها بر سطح ستون‌ها (بدون پوشاندن قطعات بافت بیضه با محیط کشت) بارگذاری شدند (۴۲، ۲۸).

کشت بافت بیضه: ابتدا بافت بیضه با بافر فسفات سالین (PBS) و محیط کشت  $1\text{+ MEM}\alpha$  درصد پنی‌سیلین و استرپتومایسین شستشو داده شد، سپس کپسول‌زدایی از بافت بیضه در محیط کشت جدید بر روی یخ و زیر هود لامینار انجام گرفت. بافت بیضه به کمک پنس استریل به قطعات کوچک ( $\approx 1\text{ mm}^3$ ) برش زده شد (۲۸).

نمونه‌های بافت بیضه در *in vitro* و در دمای  $^{\circ}\text{C}$  ۳۴/۵ با سطح  $\text{CO}_2$  ۵ درصد به مدت ۲۵، ۳۰ و ۳۵ روز در محیط کشت پایه، محیط کشت پایه مکمل شده با ۱۲۰ نانوگرم بر میلی‌لیتر فاکتور سلول بنیادی، محیط کشت پایه مکمل شده با ۱۰ میکرومولار رتینوئیک اسید و ۱۰ میکرومولار رتینول و همچنین محیط کشت پایه مکمل شده با ۱۰ میکرومولار رتینوئیک اسید و ۱۰ میکرومولار رتینول و ۱۲۰ نانوگرم بر میلی‌لیتر فاکتور سلول بنیادی کشت داده شدند. تعویض محیط کشت یک بار در هفته صورت گرفت. سپس نمونه‌های کشت داده شده پس از طی زمان‌های تعیین شده جهت بررسی مورفولوژیکی و بافتی آماده شدند. رنگ‌آمیزی برش‌های تهیه شده با کیت پاس و با توجه به پروتکل سازنده صورت گرفت. سپس با استفاده از نرم‌افزار ImageJ تعداد سلول‌ها در واحد سطح با توجه به ویژگی‌های

۲- گروه تجربی ۱: بافت بیضه بالغ مدل آزواسپرمی انسدادی کشت داده شده در محیط کشت پایه مکمل با ۱۲۰ نانوگرم بر میلی‌لیتر فاکتور سلول بنیادی با  $10\text{ KSR + MEM}\alpha + 1\text{ Pen/strep}$ .

۳- گروه تجربی ۲: بافت بیضه بالغ مدل آزواسپرمی انسدادی کشت داده شده در محیط کشت پایه مکمل با  $10\text{ میکرومولار رتینوئیک اسید} + 10\text{ میکرومولار رتینول} \text{RA} + 1\text{ Pen/strep} + 10\text{ KSR + MEM}\alpha$  (RE +).

۴- گروه تجربی ۳: بافت بیضه بالغ مدل آزواسپرمی انسدادی کشت داده شده در محیط کشت پایه مکمل با ۱۲۰ نانوگرم بر میلی‌لیتر فاکتور سلول بنیادی  $+ 10\text{ میکرومولار رتینوئیک اسید} + 10\text{ میکرومولار رتینول} \text{SCF} + \text{RA} + 1\text{ Pen/strep} + 10\text{ KSR + MEM}\alpha$  (RE +).

هر چهار گروه جهت بررسی مورفولوژیکی رده‌های مختلف سلولی فرایند اسپرماتوژنز به مدت ۲۵، ۳۰ و ۳۵ روز کشت داده شدند. همچنین گروه‌های مورد مطالعه از نظر مورفولوژیکی با بافت‌های بیضه مدل آزواسپرمی انسدادی در شرایط *in vivo* مورد مقایسه قرار گرفتند.

آماده‌سازی ژل آگارز:  $70\text{ g}$  آگارز (آگارز، لونزا، سوئیس) و  $100\text{ ml}$  آب مقطر تزریقی داخل فلاسک  $200\text{ ml}$  میلی‌لیتری ریخته شد، با تکان دادن محتويات داخل فلاسک سوسپانسیون آگارز ایجاد شد. بعد از اتوکلاو (۲۰ دقیقه،  $121\text{ }^{\circ}\text{C}$ ) محلول آگارز با غلظت  $70\text{ \% (W/V)}$  توسط محیط کشت  $10\text{ KSR + MEM}\alpha + 1\text{ pen} + 1\text{ pn}\text{- سیلین/استرپتومایسین به نسبت ۱:۱}$  رسانده شد و آگارز با غلظت نهایی  $(w/v) 35/0$  درصد بدست آمد.  $33\text{ ml}$  میلی‌لیتر از محلول آگارز در پتری‌دیش  $10\text{ سانتی‌متری}$  ریخته شد و به مدت ۲ ساعت در دمای اتاق قرار گرفت تا ژل آگارز بسته شد. ژل‌ها با تیغ بیستوری به



و مقایسه میانگین بین گروه‌ها با استفاده از تست توکی مورد تجزیه و تحلیل قرار گرفتند. داده‌ها بر اساس میانگین  $\pm$  انحراف معیار و اختلاف معنی‌داری در  $0.05 < p$  نشان داده شده است.

مورفولوژیکی و موقعیت قرارگیری در داخل لوله منی-ساز و در بافت بینایی‌نمود بررسی قرار گرفت (۲۹). آنالیزهای آماری: داده‌های حاصل از شمارش تعداد سلول‌های زایا و سوماتیک توسط نرم افزار SPSS و با استفاده از آزمون تحلیل واریانس یک طرفه ANOVA



شکل ۱- واژکتومی موش صحرایی نر

## نتایج

مقایسه تاثیر فاکتور سلول بنیادی، رتینوئیدها و ترکیبی از فاکتور سلول بنیادی و رتینوئیدها بر تکثیر و بقا رده‌های مختلف سلولی در فرآیند اسپرماتوژن در گروه‌های تجربی ۱، ۲، ۳ و گروه کنترل و همچنین مقایسه میانگین تعداد سلول‌ها در این گروه‌ها با بافت بیضه مدل آزواسپرمی انسدادی نشان داده شده است. در روز ۳۵ کشت، تعداد سلول‌های اسپرماتوگونی، اسپرماتید دراز و لایدیگ در بافت اسپرماتوسیت، اسپرماتید دراز و لایدیگ در گروه‌های مورد مطالعه (کنترل، تجربی ۱، ۲ و ۳) متفاوت بیضه آزواسپرمی انسدادی افزایش معنی داری نسبت به سایر گروه‌ها نشان داد ( $p < 0.001$ ). ولی برخلاف روزهای ۲۵ و ۳۰ کشت، بین تعداد سلول لایدیگ در گروه‌های تجربی ۱، ۲ و ۳ تفاوت معناداری وجود نداشت. همچنین از نظر تعداد سلول‌های اسپرماتید گرد اختلاف معناداری بین بافت بیضه آزواسپرمی انسدادی با گروه کنترل و تجربی ۱ وجود دارد به ترتیب ( $p = 0.001$  و  $p = 0.008$ ) (نمودار ۱). نتایج ارزیابی مورفولوژیکی به دست آمده از بررسی ضخامت غشاء لوله‌های سمینفروس با استفاده از نرم-افزار Motic و تجزیه و تحلیل آماری آن به کمک

ارزیابی مورفولوژیکی: نتایج به دست آمده از بررسی شمارش رده‌های مختلف سلولی به کمک آزمون آنالیز واریانس یکطرفه نشان داد که در روز ۲۵ و ۳۰ کشت تعداد سلول‌های اسپرماتوگونی، اسپرماتوسیت و لایدیگ و در روز ۳۵ کشت تعداد سلول‌های اسپرماتوگونی، اسپرماتوسیت، اسپرماتید گرد، اسپرماتید دراز و تعداد سلول‌های لایدیگ در گروه‌های مورد مطالعه (کنترل، تجربی ۱، ۲ و ۳) متفاوت می‌باشند. به طوری که با استفاده از آزمون تعقیبی توکی معلوم شد که در روز ۲۵ و ۳۰ کشت تعداد این سلول‌ها در بافت بیضه آزواسپرمی انسدادی در مقایسه با گروه‌های کنترل، تجربی ۱، ۲ و ۳ افزایش معنی دار نشان داده است ( $p < 0.001$ ). اما در مقایسه بین گروه‌ها در روز ۲۵ و ۳۰ کشت از نظر تعداد سلول‌های اسپرماتید گرد و اسپرماتید دراز تفاوت معنی‌داری مشاهده نشد. همچنین در روز ۲۵ و ۳۰ کشت از نظر میانگین تعداد سلول لایدیگ در گروه تجربی ۲ افزایش معنی‌داری در مقایسه با گروه‌های تجربی ۱ و ۳ وجود داشت ( $p < 0.001$ ).



جمعیاتی از سلول‌های اسیدوفیل لیدیگ به همراه عروق و سایر سلول‌های همبندی مشهود بود (شکل ۲A).

در بررسی هیستولوژیک بافت بیضه موش در روز ۳۵ کشت در گروه‌های کنترل، تجربی ۱، تجربی ۲ و تجربی ۳، اسپرماتوژنر فعالی در لوله‌های سمینیفروس مشاهده نشد. در داخل لوله‌ها رده‌های مختلف سلول‌های اسپرماتوژنیک به صورت پراکنده همراه سلول‌های سرتولی دیده شدند. به علاوه سلول‌های سرتولی نیز اتصال خود را با سلول‌های زایا از دست داده و به صورت بی قاعده و با هسته‌هایی نامنظم و کوچکتر از معمول مشاهده شدند. از دست رفتن آرایش رده‌های مختلف سلولی و کاهش تعداد و از بین رفتن میزان زیادی از رده‌های مختلف سلول‌های اسپرماتوژنیک در برخی مقاطع بافتی قابل مشاهده بود.

لوله‌های سمینیفروس ساختمان نسبتاً غیرطبیعی و رویهم خوابیده داشتند. اپیتلیوم ژرمنیال از ضخامت قابل توجهی برخوردار نبود و از هم گسیختگی اپیتلیوم زایا و پراکنده‌گی سلولی در حفره داخلی لوله‌های اسپرم ساز مشاهده شد. مجرای لوله سمینیفروس به صورت مشخص دیده نشد. غشاء پایه زیر اپیتلیوم ژرمنیال به صورت یک لایه هموژن و منظم قابل تشخیص نبود. همچنین در بافت بینایینی تجمعاتی از سلول‌های اسیدوفیل لیدیگ مشهود بود (شکل ۲A, B, C, D, E).  
الگوهای مختلف تغییرات پاتولوژیک در گروه‌های (کنترل، تجربی ۱، ۲ و ۳) در روز ۳۰ کشت در شکل ۳ نمایش داده شده است. در برخی مقاطع بافتی نمونه کشت داده شده در شرایط مختلف تحت تیمار با فاکتورهای سلول بنیادی، رتینوئیدها یا ترکیبی از هر دو فاکتور، الگوهای مختلفی از تغییرات پاتولوژیک در سلول‌های سازنده اپیتلیوم ژرمنیال مشهود بود. برخی از لوله‌ها آتروفیک و خالی از هر نوع سلول اسپرماتوژنر و سرتولی بودند. آرایش ضخامت غشاء

آزمون آنالیز واریانس یکطرفه و آنالیز با داده‌های تکراری در جدول ۱ نشان داد که در روز ۲۵ کشت بین گروه‌های مورد بررسی اختلاف معنی داری وجود دارد و این اختلاف ناشی از افزایش ضخامت غشاء در لوله‌های سمینیفروس گروه تجربی ۱ و ۳ در مقایسه با بافت بیضه آزواسپرمی انسدادی است ( $P = 0.07$ ).

در روز ۳۰ و ۳۵ کشت در گروه‌های کنترل و تجربی ۱، ۲ و ۳ در غشاء افزایش ضخامت ایجاد شده ولی بین این گروه‌ها اختلاف معناداری وجود ندارد اما مقایسه این گروه‌ها با بافت آزواسپرمی انسدادی افزایش معناداری را در ضخامت غشاء نشان داده است ( $P < 0.001$ ). همچنین در گروه تجربی ۲ آنالیز با داده‌های تکراری نشان داد که با افزایش مدت زمان کشت بر ضخامت غشاء پایه لوله‌های سمینیفروس افزوده شده و این افزایش معنادار است ( $P = 0.002$ ).

آرایش رده‌های مختلف سلولی موجود در لوله‌های سمینیفروس در گروه‌های کنترل، تجربی ۱، ۲ و ۳ در روز ۳۵ کشت و مقایسه آن‌ها با بافت بیضه آزواسپرمی انسدادی در محیط *in vivo* در شکل ۲ نمایش داده شده است.

در بررسی هیستولوژیک بافت بیضه موش بالغ مدل آزواسپرمی انسدادی، اسپرماتوژنر در لوله‌های سمینیفروس همراه با اسپرم‌های بالغ یا در حال بلوغ مشاهده شد. در داخل لوله‌ها رده‌های مختلف سلول‌های اسپرماتوژنیک در مراحل مختلف تقسیم به همراه سلول‌های سرتولی دیده شدند. لوله‌های سمینیفروس دارای ساختمان و اپیتلیوم زایای نسبتاً طبیعی بودند. اپیتلیوم ژرمنیال از ضخامت قابل توجهی برخوردار بود. مجرای لوله سمینیفروس به صورت کاملاً مشخص و روشن دیده شد. غشاء پایه زیر اپیتلیوم ژرمنیال به صورت یک لایه هموژن و منظم به خوبی قابل تشخیص است. همچنین در بافت بینایینی



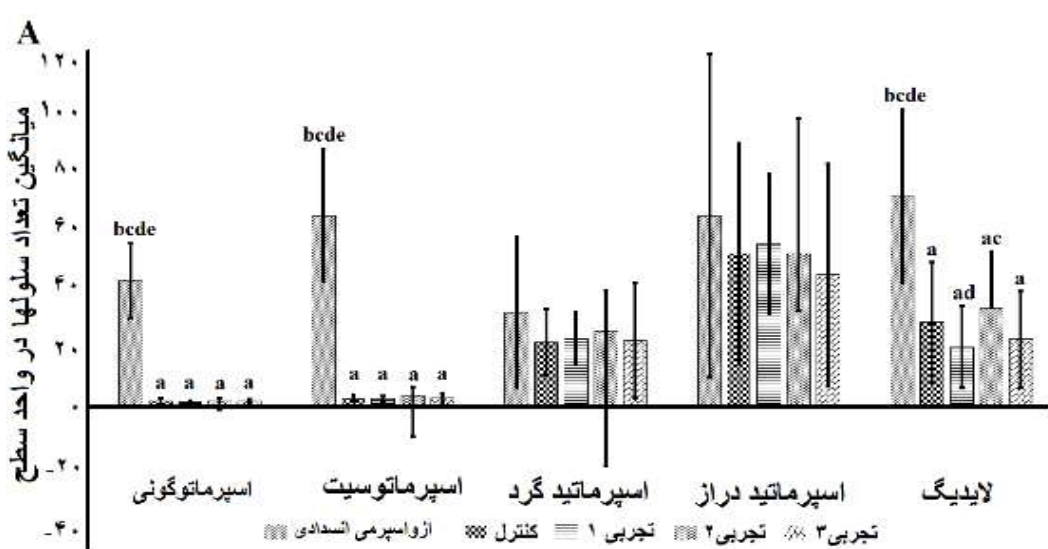
توده‌های کوچک و بزرگی از واکوئل‌ها داخل اپی‌تلیوم ژرمینال دیده می‌شد که حضور آن‌ها نشان دهنده مرگ سلولی است. در برخی از لوله‌ها اسپرماتوسیت‌های تحت تقسیم میوزی سیتوپلاسم هایپرآئونوفیلی دارند که این تغییر نیز نشان دهنده انحطاط می‌باشد (شکل .۳A، B، C، D)

پایه در بعضی از لوله‌های سمینیفروس با الگوهای تغییرات از یک ضخیم‌شدگی ساده هموژن تا ضخیم شدگی ناهمگون و نامنظم به همراه چین خورددگی غشاء پایه و چند لایه شدن غشاء و نیز مواردی از ضخیم شدگی همراه با بر جسته شدن به شکل گره به طرف اپی‌تلیوم ژرمینال مشاهده شد. در بعضی لوله‌ها

جدول ۱- ارزیابی مورفو‌لوزیکی ضخامت غشاء لوله سمینیفروس (بر حسب میکرومتر) در بافت بیضه موش صحرایی مدل آزواسپرمی انسدادی و بافت‌های کشت داده شده در گروه‌های مورد مطالعه

گروه / زمان	روز ۲۵ کشت	روز ۳۰ کشت	روز ۳۵ کشت	سطح معنی‌داری
بافت بیضه آزواسپرمی	۱۰/۲۶ ± ۳/۱۴ <sup>a</sup>	۱۰/۲۶ ± ۳/۱۴ <sup>a</sup>	۱۰/۲۶ ± ۳/۱۴	
گروه کنترل	۱۷/۷۶ ± ۶/۶۸ <sup>b</sup>	۱۵/۵۴ ± ۶/۷۴ <sup>b</sup>	۱۴/۲۳ ± ۶/۴۷	
گروه تجربی ۱	۱۸/۲۳ ± ۸/۱۳ <sup>b</sup>	۱۸/۳۲ ± ۷/۱۳ <sup>b</sup>	۱۸/۸۲ ± ۱۲/۳۰	
گروه تجربی ۲	p = ۰/۰۰۲ ۱۷/۴۵ ± ۱۰/۱۸ <sup>b</sup>	۱۴/±۷۷ ۵/۷۰ <sup>b</sup>	۱۱/۸۲ ± ۴/۲۹	
گروه تجربی ۳	۲۰/۹۷ ± ۹/۹۷ <sup>b</sup>	۱۸/۵۷ ± ۷/۶۹ <sup>b</sup>	۱۷/۴۰ ± ۶/۸۱	
p < ۰/۰۰۱				** سطح معنی‌داری
p < ۰/۰۰۱				*** سطح معنی‌داری
p = ۰/۰۷				

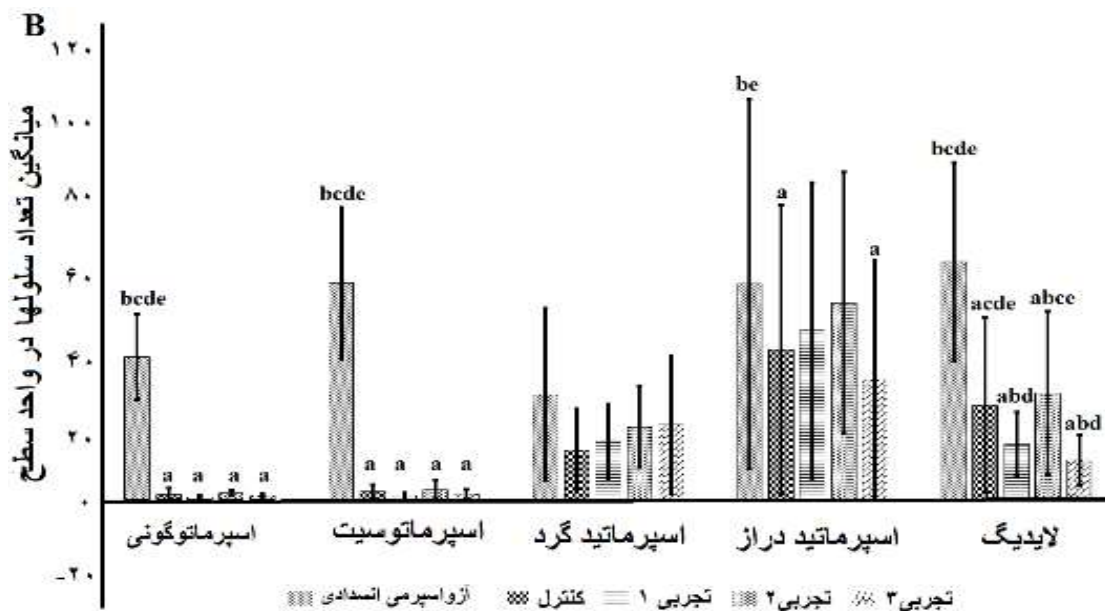
\*: آنالیز واریانس با داده‌های تکراری، \*\*: آنالیز واریانس یکطرفه. حروف‌های مشابه نشان دهنده عدم معنی‌داری در سطح ۰/۰۵ می‌باشد.



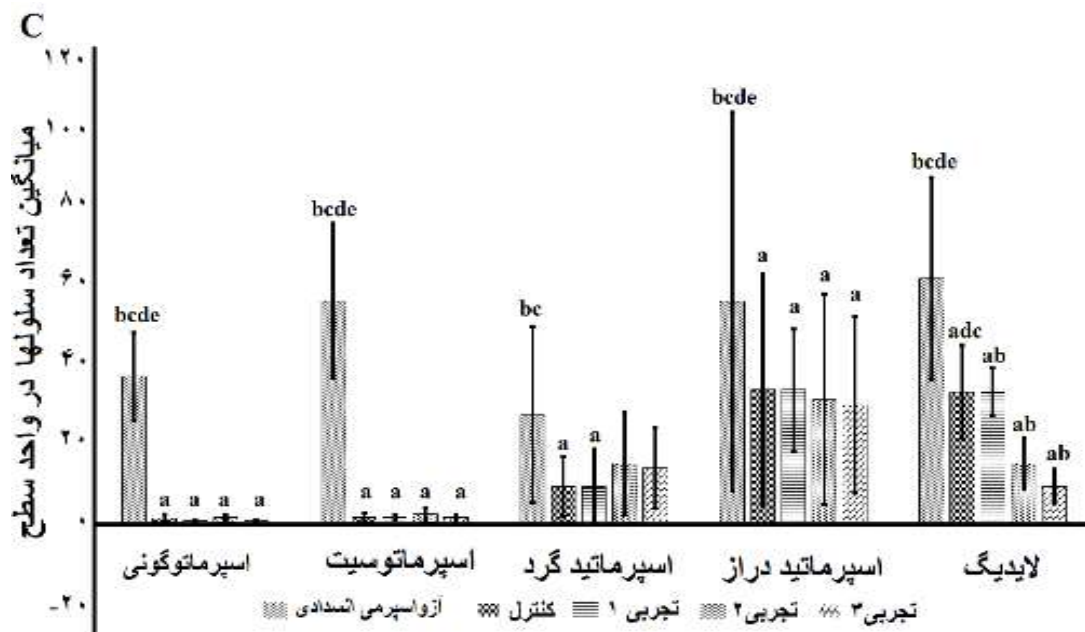
نمودار ۱- مقایسه عملکرد فاکتور سلول بنیادی، رتینوئیدها و ترکیبی از فاکتور سلول بنیادی و رتینوئیدها بر تکثیر و بقا رده‌های مختلف سلولی در فرآیند اسپرماتوزیز در گروه‌های تجربی ۱، ۲، ۳ و گروه کنترل و مقایسه این گروه‌ها با بافت بیضه مدل آزواسپرمی انسدادی در روز ۲۵ کشت. a: تفاوت معنی‌داری هر یک از گروه‌ها با بافت بیضه مدل آزواسپرمی انسدادی، b:



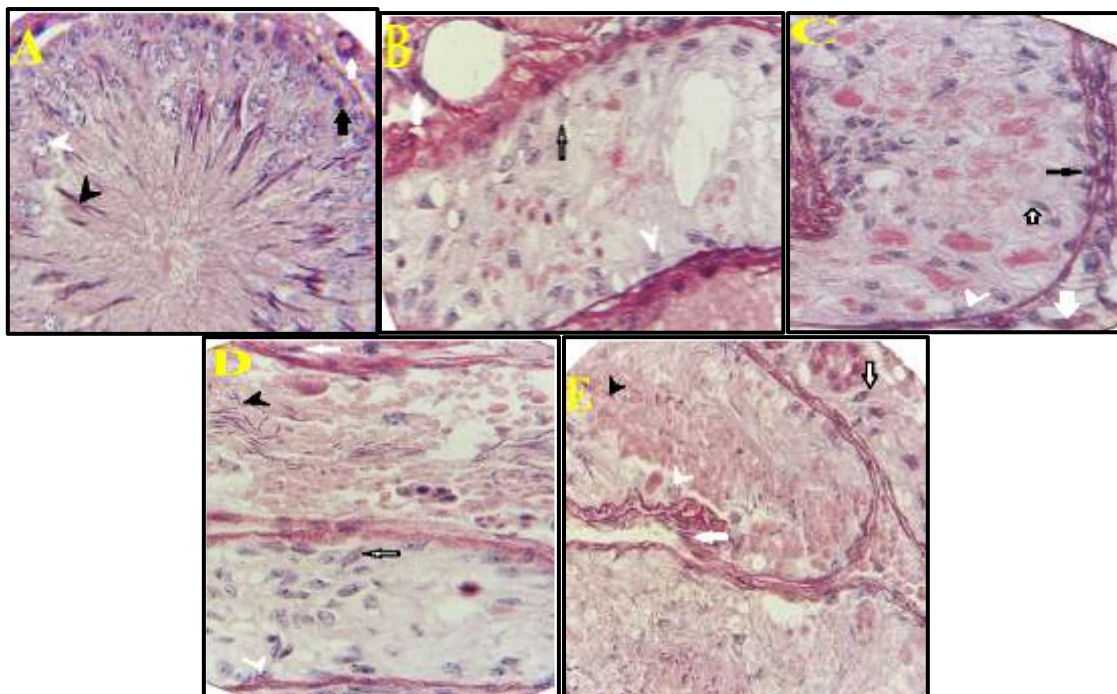
تفاوت معنی داری هر یک از گروهها با گروه کنترل، c: تفاوت معنی داری هر یک از گروهها با گروه تجربی ۱، d: تفاوت معنی داری هر یک از گروهها با گروه تجربی ۲، e: تفاوت معنی داری هر یک از گروهها با گروه تجربی ۳.



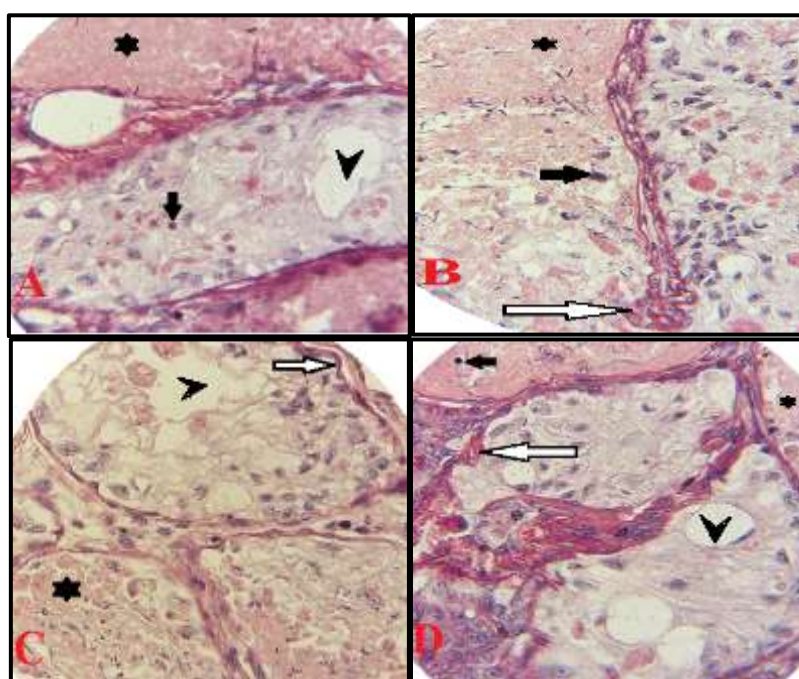
نمودار ۲- مقایسه عملکرد فاکتور سلول بنیادی، رتینوئیدها و ترکیبی از فاکتور سلول بنیادی و رتینوئیدها بر تکثیر و بقدامهای مختلف سلولی در فرآیند اسپرماتوژن در گروههای تجربی ۱، ۲، ۳ و گروه کنترل و مقایسه این گروهها با بافت بیضه مدل آزواسپرمی اندادی در روز ۳۰ کشت.



نمودار ۳- مقایسه عملکرد فاکتور سلول بنیادی، رتینوئیدها و ترکیبی از فاکتور سلول بنیادی و رتینوئیدها بر تکثیر و بقدامهای مختلف سلولی در فرآیند اسپرماتوژن در گروههای تجربی ۱، ۲، ۳ و گروه کنترل و مقایسه این گروهها با بافت بیضه مدل آزواسپرمی اندادی در روز ۳۵ کشت.



شکل ۲- آرایش رده‌های مختلف سلولی در لوله‌های سمینفروس در گروه‌های کنترل، تجربی ۱، ۲ و ۳ در روز ۳۵ کشت و مقایسه آن‌ها با بافت بیضه آزواسپرمی انسدادی در محیط *in vivo*. بافت بیضه مدل آزواسپرمی انسدادی (A)، بافت بیضه گروه‌های کنترل (B)، تجربی ۱ (C)، تجربی ۲ (D)، تجربی ۳ (E) (بزرگنمایی  $\times 1000$ ). کاهش تعداد سلول اسپرماتوگونی و اسپرماتوسیت، بی‌نظمی در آرایش رده‌های سلولی لوله سمینفروس و کاهش سلول‌ها و رویهم خوابیدگی لوله‌ها در گروه‌های کنترل، تجربی ۱ و ۲ نسبت به بافت بیضه مدل آزواسپرمی انسدادی در شکل‌ها قابل مشاهده است. (پیکان سیاه: اسپرماتوگونی، پیکان سفید: سلول لايدیگ، نوک پیکان سفید: سلول اسپرماتوسیت، نوک پیکان سیاه: اسپرماتید دراز، پیکان سیاه و سفید: سلول سرتولی).





شکل ۳- الگوهای مختلف تغییرات پاتولوژیک در سلول‌های سازنده اپی‌تلیوم ژرمنیال بافت بیضه موش در روز ۳۰ کشت. بافت بیضه گروه‌های کنترل (A)، تجربی ۱ (B)، تجربی ۲ (C)، تجربی ۳ (D) (بزرگنمایی ۱۰۰×). در برخی مقاطع بافتی تغییرات پاتولوژیک قابل مشاهده بود. از جمله دو لایه شدن غشاء، ضخیم شدن غشاء و ایجاد حالت گره در انتهای، واکوئله شدن داخل اپی‌تلیوم ژرمنیال، هایپرائزوینوفیلی شدن اسپرماتوسیت‌ها و خالی شدن لوله سینیفروس از هر نوع سلول اسپرماتوژنیک و سرتولی. (پیکان سیاه: اسپرماتوسیت هایپرائزوینوفیلی، پیکان سفید: چین خورده‌گی و دو لایه شدن غشاء پایه، نوک پیکان سیاه: واکوئله شدن، ستاره سیاه: خالی شدن لوله از سلول).

## بحث

اسپرماتوژنر و در برخی موارد از بین رفتن تعداد زیادی از این سلول‌ها و یا خالی شدن برخی لوله‌ها از هر نوع سلول اسپرماتوژنر و سرتولی را نشان دادند که در کل موجب کاهش ضخامت اپی‌تلیوم منی‌ساز می-شود. شاید بتوان کاهش سلول‌های زایای لوله سینیفروس را در گروه‌های کشت داده شده ناشی از دو مکانیسم کاهش تکثیر سلول‌های زایا و افزایش مرگ سلول‌های زایا دانست. به نظر می‌رسد علت کاهش تعداد سلول‌های زایا در گروه تجربی، تعداد کم تقسیمات میتوzی آن‌ها قبل از ایجاد اسپرماتوسیت‌ها و یا افزایش سرعت میوز اسپرماتوسیت‌ها در بافت باشد که با توجه به کاهش اسپرماتیدهای گرد در لوله‌های منی‌ساز گروه آزمایش، احتمال اول تأیید می‌شود؛ یعنی رتینوئیک اسید می‌تواند از تقسیمات میتوزی سلول‌های بنیادی اسپرماتوگونیایی در اپی‌تلیوم منی-ساز موش ممانعت به عمل آورد. در واقع ارتباط عملکردی بسیاری بین سلول‌های لیدیگ، سرتولی و در نهایت، بین سلول‌های سرتولی و سلول‌های زایا وجود دارد. سلول‌های لیدیگ، فعالیت‌های فیزیولوژیکی سلول‌های سرتولی را از طریق سنتز تستوسترون کنترل می‌کنند. هورمون تستوسترون نیز با اثر مستقیم بر روی سلول‌های سرتولی، باعث ترشح مایع لوله‌ای و پروتئین‌های متعددی نظیر فاکتورهای رشد و ترانسفرین می‌گردد، که نقش ویژه‌ای در تغذیه سلول‌های جنسی در حال تقسیم و در نهایت، تولید اسپرم

در این مطالعه، از تکنیک کشت بافت برای القاء و حفظ اسپرماتوژنر در بیضه رت بالغ مدل آزواسپرمی انسدادی در شرایط آزمایشگاه استفاده گردید و اثرات فاکتور سلول بنیادی و رتینوئیدها بر تمایز سلول‌های اسپرماتوگونی مورد بررسی قرار گرفت. مطالعات پیشین نیز نشان داده‌اند که فاکتور سلول بنیادی اگزوژن محلول می‌تواند بقا و تکثیر سلول‌های زایا را تا حدی جبران و برخی از بی‌نظمی‌های اسپرماتوژنر را بهبود بخشد (۲۶، ۱). رتینول و رتینوئیک اسید نیز شروع و حفظ اسپرماتوژنر و تمایز سلول‌های زایای موش نابالغ را در سیستم کشت اندام و همچنین تمایز سلول‌های زایای موش صحرایی نر نابالغ را در *in vitro* و *in vivo* تقویت می‌کنند (۲، ۱۰، ۱۵، ۳۸، ۳۹، ۴۳). در تحقیق حاضر فرض بر این است که این غلظت از فاکتور سلول بنیادی و رتینوئیدها شاید بتواند فشار انتشار بیشتری را از طریق لومن ایجاد کرده و اثر حفاظتی بیشتری بر اسپرماتوسیت‌ها و اسپرماتیدها اعمال کند. در بررسی میکروسکوپی برخی مقاطع بافتی کشت داده شده در گروه‌های تجربی ۱، ۲، ۳ و کنترل در مقایسه با بافت بیضه مدل آزواسپرمی محیط *in vivo* الگوهای مختلفی از تغییرات پاتولوژیک در سلول‌های سازنده اپی‌تلیوم ژرمنیال مشهود بود. طبق یافته‌های این مطالعه، گروه‌های تجربی و کنترل مورد بررسی، در اپی‌تلیوم زایای لوله‌های منی‌ساز کاهش تعداد رده‌های مختلف سلولی

دادند (۲۴). در حالی که گزارش دیگری این تغییر غشاء پایه به انضمام چین خودگی آن را به دلیل کاهش قطر لوله‌های سمینیفروس معرفی کرد (۲۲). کاهش قطر لوله‌های سمینیفروس و بدبیان آن تغییر در غشاء پایه در برخی مقاطع بافتی نمونه‌های کشت داده شده این تحقیق نیز با گزارشات پیشین سازگار است. حضور واکوئل‌هایی داخل اپی‌تیلیوم ژرمینال در برخی مقاطع بافتی اشاره به مرگ سلولی که اغلب حاصل از بین رفن سلول‌های ژرمینال بعلت اثرات سلول زایای اولیه و سرتولی می‌باشد. به نظر می‌رسد افزایش حفرات و افزایش تدریجی آنها در پوشش منجر به آتروفی لوله‌ها شده است ایجاد این حفرات را همچنین می‌توان به از دست رفتن اتصالات سلول سرتولی یا مرگ آنها نسبت داد. حضور اسپرماتوسیت‌های تحت تقسیم میوزی سیتوپلاسم هایپرائوزینوفیلی در برخی لوله‌ها می‌تواند نشان‌دهنده انحطاط باشد. با توجه به شواهد و یافته‌های موجود، کارایی سیستم کشت اندام در تمایز، تکثیر و حفظ سلول زایای موش صحرایی بالغ مدل آزواسپرمی انسدادی به مراتب بسیار پایین‌تر از موش صحرایی نوزاد و موش است که در مطالعات پیشین توضیح داده شد (۶، ۲۱، ۲۸، ۳۱). با کمال تعجب، مکمل‌ها تمایز سلول زایای نر موش صحرایی بالغ مدل آزواسپرمی انسدادی را در محیط *in vitro* بهبود ندادند، که نشان می‌دهد آن‌ها تنها بازیکنان در روند فرایند تمایز و تکثیر نیستند. این نتایج با نتایج گزارش ساتو سازگار است که موقعيت گزارش شده در تولید اسپرماتید پس میوزی فقط با استفاده از محیط کشت MEMα مکمل با KSR حاصل شده بود و همچنین با نتایج گزارش شده توسط ردا که نشان دادند القا کننده‌های گلوتاماتکس، ملاتونین و رتینوئیک اسید بکار گرفته شده همراه با محیط کشت MEMα مکمل با KSR تمایز سلول زایای نر موش صحرایی نبالغ در

بر عهده دارد (۱۴). در این مطالعه سلول‌های لیدیگ در روز ۳۵ کشت در گروه‌های تجربی در مقایسه با گروه کنترل و بافت بیضه مدل آزواسپرمی انسدادی، به طور معنی‌داری کاهش یافت، لذا میتوان نتیجه گرفت کاهش جمعیت و یا اختلال کارکردی سلول‌های لیدیگ در پی مصرف فاکتور سلول بنیادی و رتینوئیدها، شاید با کاهش سطح سرمی تستوسترون باعث کاهش سلول‌های سرتولی و عدم یک پارچگی اپی‌تیلیوم زایا شده باشد. مطالعات در *in vitro* نشان داده است که سنتز غشاء پایه نیازمند همکاری هر دو سلول سرتولی و میوئید است و حضور ماتریکس خارج سلولی مناسب و نرمال در عملکرد صحیح سلول‌های لیدیگ، سرتولی و میوئید ضروری می‌باشد (۳۴).

در مطالعه حاضر ممکن است افزایش ضخامت غشاء پایه همراه با دیگر تغییرات پاتولوژیک منجر به کاهش انتشار مواد موجود در خون شود که برای سلول‌های زایای در حال تکامل به شدت نیاز است. این که آیا افزایش ضخامت غشاء منجر به اختلال در روند اسپرماتوژن می‌شود و یا این که اختلال در روند اسپرماتوژن عامل این تغییرات پاتولوژیک در غشاء پایه است مشخص نیست. ضخیم شدن غشاء پایه از ارتباط طبیعی بین سلول سرتولی و میوئید جلوگیری کرده و مانع از اینترکشن‌های طبیعی بین آن‌ها شده و با تشدید تغییرات سلولی در روند اسپرماتوژن اختلال ایجاد می‌کنند. یکی دیگر از عواملی که در بعضی از مطالعات علت افزایش ضخامت غشاء پایه ذکر شده رسوبات ایمنی در آن است. از جمله مطالعه سالمون و همکاران در سال ۱۹۸۲ وجود IgG و IgM را در غشاء پایه لوله‌های سمینیفروس بیضه در افراد نابارور گزارش کردند (۳۰). سالمون این مورفولوژی در غشاء پایه را Delamination نام نهادند. ناکانه و پی-یرس نیز این چند لایه شدن غشاء پایه را به سنتز اضافی غشاء پایه در پاسخ به ضایعه اپی‌تیلیال نسبت



نشان نداده است. با توجه به این که، شرایط کشت بافت ما به اندازه کافی شرایط موجود در *in vivo* را تقلید نکرده است، نمی‌توان پیشرفت طبیعی اسپرماتوژن را انتظار داشت. بکارگیری موش بالغ مدل آزو اسپرمی انسدادی جهت کشت بافت برای اولین بار، می‌تواند امید دستیابی به اسپرم بالغ را در مدل انسانی ارتقا بخشد، از این‌رو، تحقیقات بیشتری برای بهینه‌سازی شرایط کشت بافت بیضه بالغ در شرایط *in vitro* مورد نیاز می‌باشد.

#### منابع

- Allard E.K., Boekelheide K., 1996. Fate of germ cells in 2,5-hexanedioneinduced testicular injury. II. Atrophy persists due to a reduced stem cell mass and ongoing apoptosis. *Toxicol Appl Pharmacol*, 137: 149-156.
- Arkoun B., Dumont L., Milazzo J.P., Way A., Bironneau A., Wils J., Mace B., Rives N., 2015. Retinol improves in vitro differentiation of pre-pubertal mouse spermatogonial stem cells into sperm during the first wave of spermatogenesis. *Plos One*, 10(2): e0116660.
- Baker K., Sabanegh Jr E., 2013. Obstructive azoospermia: reconstructive techniques and results. *Clinics*, 68(S1): 61-73.
- Bergh A., Collin O., Lissbrant E., 2001. Effects of acute graded reductions in testicular blood flow on testicular morphology in the adult rat. *Biology of reproduction*, 64(1): 13–20.
- Bokemeyer C., Kuczyk M.A., Dunn T., Serth J., Hartmann K., Jonasson J., Pietsch T., Jonas U., Schmoll H.J., 1996. Expression of stem-cell factor and its receptor *c-kit* protein in normal testicular tissue and malignant germ-cell tumours. *J Cancer Res Clin Oncol*, 122(5): 301-306.
- Dumont L., Arkoun B., Jumeau F., Milazzo J.P., Bironneau A., Liot D., Wils J., Rondanino C., Rives N., 2015.

محیط *in vitro* را بهبود نداده است (۳۱، ۲۸). نتایج مطالعه حاضر نشان داد که محیط کشت مکمل با SCF رتینوئیدها در روز ۳۵ کشت در مقایسه با فاکتور در حفظ رده‌های سلولی فرایند اسپرماتوژن نسبت به گروه کنترل نقش مؤثرتری داشتند. این نتایج با نتایج تحقیقات قبلی در مورد اثرات مطلوب رتینوئیدها در حفظ تکثیر سلولی داخل لوله و تمایز سلول‌های زایا سازگار است (۳۸، ۲). کشت طولانی‌مدت بافت بیضه موش صحرایی بالغ مدل آزو اسپرمی انسدادی برای مدت ۲۵، ۳۰ و ۳۵ روز باعث ایجاد تغییراتی در خصوصیات بافت‌شناسی آنها شد. پیشیبانی از بافت‌های بالغ هر عضو تحت شرایط کشت چالش برانگیز است و معمولاً در برابر شرایط کشت آسید پذیر هستند (۳۲). از جمله شرایط نامطلوب برای بافت بیضه بالغ، وضعیت هیپوکسیک است که با وجود افزایش غلظت اکسیژن در انکوباتور برطرف نشده است (۴، ۸).

اختلاف بین بافت‌های بیضه بالغ مدل آزو اسپرمی انسدادی و بیضه بالغ نرمال ممکن است به دلیل تغییرات دژنراتیو، از جمله فشار داخل لوله‌ای و کاهش قطر لوله‌های اسپرم‌ساز باشد. همچنین، واژکتومی و احتمالاً اختلالات گردش خون منجر به از بین رفتن برخی از سلول‌های زایا می‌شود (۷، ۲۰).

#### نتیجه‌گیری

رتینوئیک اسید و رتینول در مقایسه با فاکتور سلول بنیادی و ترکیبی از فاکتور سلول بنیادی و رتینوئیک اسید و رتینول در روند تمایز سلولی و حفظ سلول‌ها در لوله سمینفروس پس از ۳۵ روز کشت در شرایط *in vitro* عملکرد بهتری داشته است. اما در مقایسه با بافت بیضه مدل آزو اسپرمی انسدادی که در آن از هیچ القا کننده‌ای استفاده نشد و صرفاً در محیط کشت پایه کشت داده شد، پس از ۳۵ روز کشت عملکرد خوبی



- Ceftriaxone on Histology, Histomorphometry, and Histochemistry of Testis and Sperm Characteristics in Mice. *Qom Univ Med Sci J*, 10(6): 1-12.
15. Hogarth C.A., Griswold M.D., 2013. Retinoic acid regulation of male meiosis, *Current Opinion in Endocrinology, Diabetes, and Obesity*, 20(3): 217-223.
16. Kim K.J., Kim B.G., Kim Y.H., Lee Y.A., Kim B.J., Jung S.E., et al., 2015. In Vitro Spermatogenesis Using Bovine Testis Tissue Culture Techniques. *Tissue Engineering and Regenerative Medicine*, 12(5): 314-323.
17. Koruji S.M., Movahedin M., Mowla S.J., Gorabi H., Jabari Arfaei A., 2007. The Effects of Inducer Factors on Adult Mouse Spermatogonial Cells Colony Formation In Vitro. *Yakhteh Medical Journal*, 9(2): 141-150.
18. Kovac J.R., Lehmann K.J., Fischer M.A., 2014. A single-center study examining the outcomes of percutaneous epididymal sperm aspiration in the treatment of obstructive azoospermia. *Urol Ann*, 6: 41-45.
19. Kubota H., Avarbock M.R., Brinster R.L., 2004. Culture conditions and single growth factors affect fate determination of mouse spermatogonial stem cells. *Biol Reprod*, 71: 722-731.
20. Lavers Ann E., Swanlund David J., Hunter Brian A., Tran Michael L., Pryor Jon L., Roberts K.P., 2006. Acute Effect of Vasectomy on the Function of the Rat Epididymal Epithelium and Vas Deferens. *Andrology*, 27: 326-336.
21. Liu F., Cai C., Wu X., Cheng Y., Lin T., Wei G., He D., 2016. Effect of knockOut serum replacement on germ cell development of immature testis tissue culture. *Theriogenology*, 85: 193-199.
22. Martin D., 1994. Basement Membrane Regulation of Sertoli Cells. *Endocrinol Rev*, 15: 102-115.
- Assessment of the optimal vitrification protocol for pre-pubertal mice testes leading to successful in vitro production of flagellated spermatozoa. *Andrology*, 3: 611-625.
7. Duru F.I.O., Ajayi S., Azu O.O., 2013. The effect of unilateral vasectomy on testosterone and testicular parameters in the adult male African giant rat (*Cricetomys Gambianus*). *African Health Sciences*, 13(2): 483 - 489.
8. Farias J.G., Bustos-Obregon E., Orellana R., Bucarey J.L., Quiroz E., Reyes J.G., 2005. Effects of chronic hypobaric hypoxia on testis histology and round spermatid oxidative metabolism. *Andrologia*, 37(1): 47-52.
9. Ghieh F., Mitchell V., Mandon-Pepin B and Vialard F., 2019. Genetic defects in human azoospermia. *Basic and Clinical Andrology*, 29: 4.
10. Gholamitabar Tabari M., Jorsaraei S.G.A., Ghasemzadeh-Hasankolaei M., Ahmadi A.A., Amirikia M., 2018. Evaluation of Novel Mouse-Specific Germ Cell Gene Expression in Embryonic Stem Cell-Derived Germ Cell-Like Cells In Vitro with Retinoic Acid Treatment. *Cellular reprogramming*, 20(4): 245-255.
11. Gohbara A., Katagiri K., Sato T., Kubota Y., Kagechika H., Araki Y., et al., 2010. In vitro murine spermatogenesis in an organ culture system. *Biology of Reproduction*, 83: 261-267.
12. Grimaldi P., Rossi P., Dolci S., Ripamonti C.B., Geremia R., 2002. Molecular genetics of male infertility: stem cell factor/c-kit system. *Am J Reprod Immunol*, 48(1): 27-33.
13. Hai Y., Hou J., Liu Y., Liu Y., Yang H., Li Z., He Z., 2014. The roles and regulation of Sertoli cells in fate determinations of spermatogonial stem cells and spermatogenesis. *Semin Cell Dev Biol*, 29: 66-75.
14. Hasanzadeh S., Najafi G., Pirdehghan H.R., Bonyadi F., 2016. The Effects of



32. Sato T., Katagiri K., Kojima K., Komeya M., Yao M., and Ogawa T., 2015. *In Vitro* Spermatogenesis in Explanted Adult Mouse Testis Tissues. *PLoS One*, 10(6): e0130171.
33. Schlegel P.N., 2004. Cause of azoospermia and their management. *Reproduction, Fertility and Development Journal*, 16: 561-572.
34. Skinner M.K., Tung P.S., Fritz I.B., 1985. Cooperativity between Sertoli cells and testicular peritubular cells in the production and deposition of extracellular matrix components. *J Cell Biol*, 100(6): 1941-1947.
35. Steinberger A., Steinberger E., Perloff W.H., 1964. Mammalian Testes in Organ Culture. *Experimental Cell Research*, 36: 19-27.
36. Steinberger A., Article: M.J., 1975. In vitro techniques for the study of spermatogenesis. *Enzymology Journal Article*, 39: 283-296.
37. Steinberger E., Steinberger A., Perloff W.H., 1964. Initiation of spermatogenesis in vitro. *Endocrinology*, 74: 788–792.
38. Travers A., Arkoun B., Safsaf A., Milazzo J.P., Absyte A., et al., 2013. Effects of vitamin A on In Vitro maturation of pre-pubertal mouse spermatogonial stem cells. *Plos One*, 8(12): e82819.
39. Vernet N., Dennefeld C., Klopfenstein M., et al., 2008. RXR beta expression in Sertoli cells controls cholesterol homeostasis and spermiation. *Reproduction*, 136: 619-626.
40. Wang S., Wang X., Ma L., Lin X., Zhang D., et al., 2016. Retinoic Acid Is Sufficient for the In Vitro Induction of Mouse Spermatocytes. *Stem Cell Reports* j, 7: 80–94.
41. Yan W., Suominen J and Toppari J., 2000. Stem cell factor protects germ cells from apoptosis in vitro. *Journal of Cell Science*, 113: 161-168.
23. Park T.S., Han J.Y., 2000. Derivation and characterization of pluripotent embryonic germ cells in chicken. *Mol Reprod Dev*, 56: 475-482.
24. Pierce G.B., Nakane P.K., 1969. Basement membranes. Synthesis and deposition in response to cellular injury. *Lab Invest*, 21(1): 27-41.
25. Poongothai J., Gopenath T.S., Manonayaki S., 2009. Genetics of human male infertility. *Singapore Med J*, 50(4): 336-347.
26. Qin Q., Liu J., Ma Y., Wang Y., Zhang F., Gao S., Dong L., 2017. Aberrant expressions of stem cell factor/c-KIT in rat testis with varicocele. *Journal of the Formosan Medical Association*, 116: 542-548.
27. Reda A., Hou M., Landreh L., Kjartansdottir K.R., Svechnikov K., Soder O., Stukenborg J.B., 2014. In vitro spermatogenesis – optimal culture conditions for testicular cell survival, germ cell differentiation, and steroidogenesis in rats. *Front Endocrinol*, 5: 21.
28. Reda A., Hou M., Winton T.R., Chapin R.E., Soder O., Stukenborg J.B., 2016. In vitro differentiation of rat spermatogonia into round spermatids in tissue culture. *Molecular Human Reproduction*, 22(9): 601–612.
29. Russell L.D., Ettlin R.A., Sinha Hikim A.P., Clegg E.D., 2008. Histological and histopathological evaluation of the testis. *International Journal of Andrology*, 16(1): 83 - 83.
30. Salomon F., Saremaslani P., Jakob M., Hedinger C.E., 1982. Immune complex orchitis in infertile men. Immunoelectron microscopy of abnormal basement membrane structures. *Technical Methods and Pathology*, 47(6): 555-567.
31. Sato T., Katagiri K., Gohbara A., Inoue K., Ogonuki N., Ogura A., et al., 2011a. In vitro production of functional sperm in cultured neonatal mouse testes. *Nature*, 471: 504-507.



43. Zhang L., Tang J., Haines C.J., Feng H., Teng X., Han Y., 2015. RA induces differentiation of multipotent P19 cells towards male germ cell. *In Vitro Cellular and Developmental Biology- Animals*, 51: 85-91.
42. Yokonishi T., Sato T., Katagiri K., and Ogawa T., 2013. In Vitro Spermatogenesis Using an Organ Culture Technique. *Methods in molecular biology*, 927: 479-488.

